

마이크로 유기—무기 복합체가 포틀랜드 시멘트 수화에 미치는 영향 (I) Montmorillonite-PVA 중간 화합물의 형성

김배연 · 김창은 · 최진호*
연세대학교 공과대학 요업공학과
* 서울대학교 자연대학 화학과
(1985년 5월 30일 접수)

Effect of Micro Organic-Inorganic Complex on Hydration of Portland Cement (I) Formation of Interlamella Complex between Montmorillonite and PVA

Bae-Yeon Kim, Chang-Eun Kim and Jin-Ho Choy*
Department of Ceramic Engineering, College of
Engineering, Yonsei University
* Department of Chemistry, College of Natural
Science, Seoul National University
(Received 30 May, 1985)

ABSTRACT

For studying the influence of addition of Polyvinyl alcohol (PVA)-montmorillonite complex on the hydration of Portland cement, the PVA-montmorillonite derivatives were prepared in advance and characterized systematically. PVA with the polymerization degree ranging from 500 to 2000 have been intercalated into the lamellar structure of hydrated montmorillonites, which were fractionated under $2\mu\text{m}$ by Stoke's rule. In all cases, the constant basal spacing of $\sim 20\text{\AA}$ was determined, whatever the molecular weight of PVA used. And the carbon chain orientation of PVA in the intersolvial space has been deduced to be parallel with bilayer structure.

I. 서 론

Intercalation 화학은 제로 과학 분야중 연구전망이 밝은 영역일뿐만 아니라 응용분야에서도 용도별로 개발이 기대되는 분야라고 생각된다¹⁾. 특히 시멘트 분야에서는 1966년에 W. Dosch²⁾ 가 클링커 광물인 C_3A 의 중간 수화물인 C_4AH_t 의 육각 판상 결정의 충간에 ethylene glycol, alcohol 등의 여러가지 극성 또는 비극성 유기 화합물을 intercalation 시킨 연구를 발표하였다. C_4AH_t 의 이러한 거동은 鎮江 重俊³⁾ 등이 발표한 C_3A 이상 흡착을 설명할 수 있는 하나의 증거가 될 수도

있을 것이다. 이러한 C_3A 중간수화물은 페운성을 갖고 있는 montmorillonite 와 구조적, 화학적으로 매우 유사하다.

뿐만 아니라 수화된 시멘트에 있어 H_2O -흡탈착 등 은선의 hysteresis 와 그때 수반되는 fractional length change curve 의 hysteresis 를 C-S-H 충간에 H_2O 가 intercalation 되었기 때문에 일어나는 현상일 것이라고 보고되었다⁴⁾.

충상 구조 유기—무기 복합체 중에서도 host 를 절대로 하는 것에 대하여서는 이미 오래전부터 알려져 왔으며 특히 1955년 W. Emerson⁵⁾이 2:1 type 의 충상

구조를 갖는 montmorillonite 와 고분자와의 중간 복합체에 대한 가능성을 제시한 이래로 여러 가지 복합체에 대한 연구가 발표되었다. Montmorillonite 와 PVA (Polyvinyl Alcohol) 의 중간 복합체에 대하여서는 1963년 Greenland⁶⁾ 와 井本三郎⁷⁾에 의하여 각각 보고된 바 있으나 intercalation 기구 및 중간유기물의 배향이 체계적으로 연구된 바는 없다.

본 연구에서는 국내 영일 지역에서 풍부히 산출되는 bentonite 를 정제하여 일본 montmorillonite 의 중간에 PVA 의 분자량을 변화시키면서 흡착 반응시켜 중간 복합체를 형성한 후 PVA, montmorillonite 및 그 복합체를 시멘트에 첨가함으로써 시멘트에 우수한 기능을 부여하고 아울러 시멘트 첨가제가 시멘트 구성 클링 커 광물의 수화 반응, 유동학적 특성, 강도 등에 미치는 영향 등을 고찰하고자 한다.

특히 polymer 합침 cement concrete 의 개발에 있어서 고가의 polymer 에 대체될 수 있는 무기물을 개발하는 방안이 될 수도 있을 것이다.

II. 실험

(1) 출발 물질

실험에 사용한 PVA 는, 중합도 (polymerization degree) 가 500, 1000, 2000 인 것은 Hayashi 사 제작의 특급시약이었으며 중합도가 1500 인 것은 시약급, Gunsei 사제품이 있다. PVA 는 약 70 °C 의 물에 일정량을 가하여 서서히 교반하면서 완전히 용해시킨 다음 물을 첨가하여 일정한 부피가 되게 함으로써 원하는 농도의 수용액을 제조하였다.

Montmorillonite 는 등해 백토 연일 11 호를 Stoke's law 에 따라 2 μm e. s. d. 이하의 크기로 수비하여 얻었다. 이때 점토의 비중은 pycnometric method 로 측정한 2.08 을 셨으며 수비시 점토의 물의 비는 가급적 작게 하였다. 그리고 해고재가 점토에, 또는 해고재가 물성에 미칠 영향을 고려하여 해고를 위한 목적으로 화학적인 첨가제를 사용하지 않고 초음파 진동기로 10 분 이상 처리하여 해고시켰다. 이러한 방법들은 2 μm e. s. d 보다 작은 입자를 얻기 위한 것으로서 경제하는데 있어서 수율은 낮아졌으나 그밖의 영향은 없었다.

(2) 실험 방법

PVA 와 montmorillonite 복합체는 Greenland⁶⁾ 가 제시한 최적 조건인, PVA 의 농도가 중합도에 따라 0.5~1.0 w/o 인 수용액에 montmorillonite 를 0.5 w/o 만큼 첨가하여 30 °C 항온에서 점토 입자의 침강이 일어나지 않을 정도의 저속으로 교반하면서 방치하였으며 분

발 X-선 회절 분석에 의해 intercalation 반응이 정량적으로 이루어졌는지를 monitor 하였다.

Montmorillonite 와 복합체를 형성한 PVA 의 흡착량은 1000 °C 에서 2 시간 강열하여 축정하였는데 이때 반응시키지 않은 montmorillonite 를 같은 조건으로 처리하여 보정함으로써 비교적 정확한 값을 얻을 수 있었다.

반응이 끝난 복합체는 원심분리기로 분리한 뒤 건조되지 않게 보관하여 사용했다.

Montmorillonite 와 복합체의 투과는 65 °C 항온에서 건조기킨 것을 기준으로 하여 사용했으며 X-선 회절 분석을 하기 위한 시편은 Mugan⁸⁾, Reynolds⁹⁾ 등이 제시한 방법을 이용하여 입자들을 충분히 배향시킨 film 형태로 만들어 사용했다.

X-Ray diffractometer 는 Rigaku 사 제작으로, Cu Kα radiation 을 사용하였다.

III. 결과 및 고찰

Fig. 1 의 (1)은 실험에 사용된 동해 백토 연일 11 호의 X-선 회절 pattern 이다. 이것의 주 구성광물은 Ca-Zeolite 외의 Clenoptilolite 옆으로 montmorillonite 의 특성 peak 는 관찰되지 않았다.

이에 비해 원광을 Stoke's law 에 따라 2 μm e. s. d. 이하로 수비 경제한 뒤 일정 방향으로 배향시킨 다음 65 °C 에서 건조시킨 시편의 X-선 회절 pattern 이 Fig. 1 의 (2)이다. 이렇게 수비 경제한 샘들은 X-선 회절 분석만으로는 정확히 동정하기가 힘들지만 Wentworth scale 을 따라 4 μm 정도 이하의 입자를 점토로 분류하는 지질학이나 2 μm 를 점토 입자의 크기 한계로 취급하는

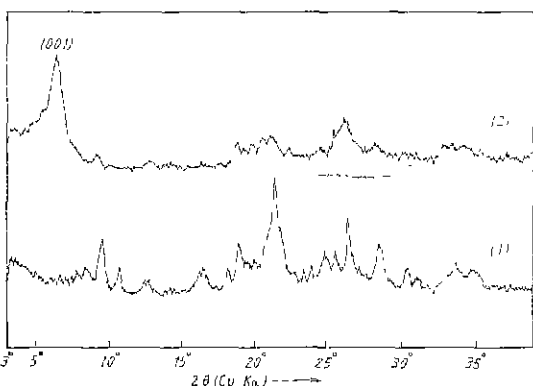


Fig. 1. X-ray diffraction patterns of (1) bentonite raw material (Ca-zeolite predominant) and (2) purified bentonite (montmorillonite predominant)

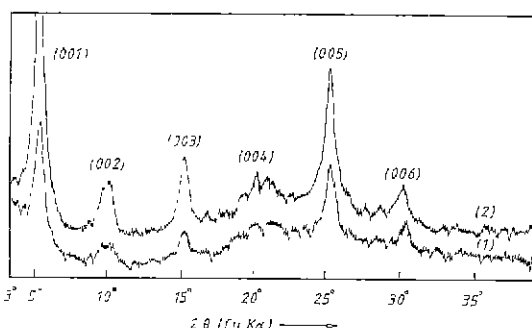


Fig. 2. X-ray diffraction patterns of (1) montmorillonite + 50 °C ethylene glycol and (2) montmorillonite + 120 °C ethylene glycol

토양학, 그리고 비점토질 광물은 1~2 μm 이하의 크기로 존재하는 경우가 드문 점¹⁰으로 미루어 볼 때 절토의 일종일 것이라는 것을 추측할 수는 있었다. 이데 특성 peak는 11.7 Å의 d value를 갖고 있었다.

Fig. 2는 광장으로 배향시킨 시편을 50 °C, 120 °C의 ethylene glycol($\text{CH}_2\text{OH} \cdot \text{CH}_2\text{OH}$)에 투명해질 때까지 적신 다음⁹ 쟁은 X-선 회절 pattern이다. 이렇게 ethylene glycol 처리를 한 시편의 basal spacing은 16.9 Å으로, 약 5.2 Å 평창됨을 확인함으로써 동해 백토 연일 11호 중에 평운성이 있는 montmorillonite가 존재함을 알 수 있었다.

이 때의 basal spacing 16.9 Å은 Reynolds⁹ 등이 밝힌 바와 같이 montmorillonite 층의 양면에 ethylene glycol이 수평으로 한 층씩 배향되어 있음을 의미한다. 그리고 수비 경계한 시편을 120 °C에서 ethylene glycol을 intercalation 시키면 peak의 강도가 증가하는 것으로 미루어 보아 intercalation 반응이 homogeneous 하거나 일어남을 Fig. 2의 (1)과 (2)에서 알 수 있다.

Fig. 3은 PVA와 montmorillonite의 복합체가 형성

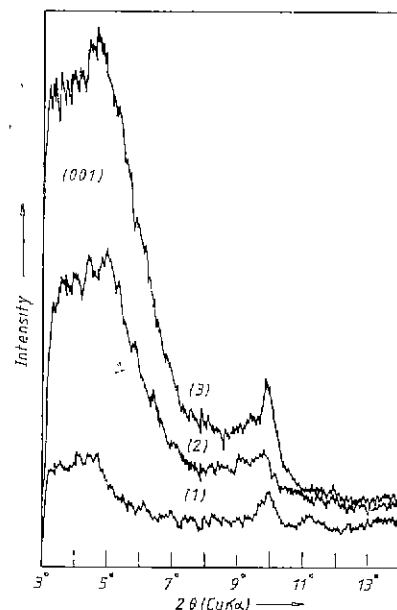


Fig. 4. X-ray diffraction patterns of PVA-1500-montmorillonite, (1) reacted for 10hours, (2) 24 hours and (3) 76 hours

되는 과정을 도필로써 나타낸 것이다. 즉 10 Å 이내의 basal spacing을 갖는 montmorillonite가 H_2O 내에서 각각의 sheet로 분리되어 PVA를 흡착하고, 전조시키면 20 Å 이상의 basal spacing을 갖는 aggregate를 형성하고 있다¹¹.

Fig. 4는 suspension 상태로 반응시킨, 시간에 따른 X-선 (001) peak 강도의 변화이다. 여기에서 반응이 진행됨을 (001) peak 강도의 증가로부터 알 수 있으며, 종합도 1500인 PVA의 경우에는 반응 시간이 길어 점에 따라 (001) peak 강도가 서서히 증가하여 3일 후 maximum에 달하여 더 이상 반응시키더라도 peak 강도의 변화가 관찰되지 않았다.

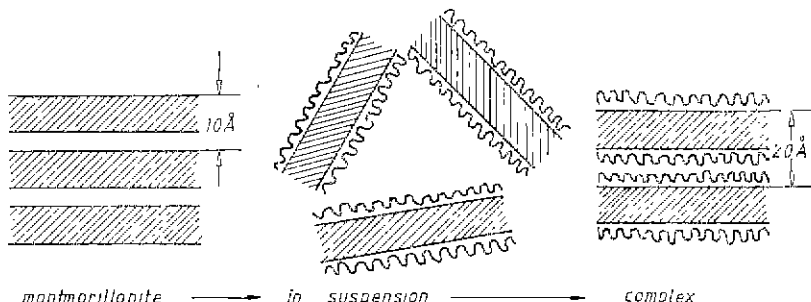


Fig. 3. Formation model of PVA-montmorillonite complex¹¹

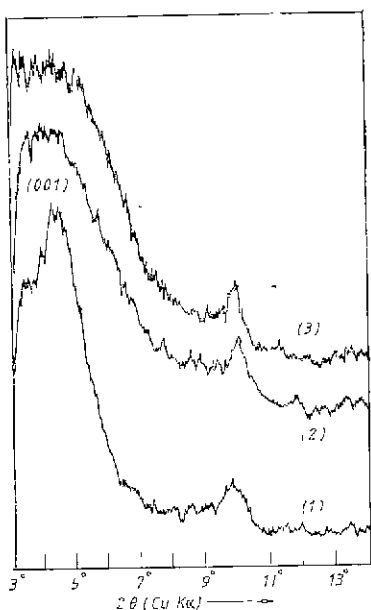


Fig. 5. X-ray diffraction patterns of PVA intercalated montmorillonite, (1) PVA 500, (2) PVA 1000 and (3) PVA 2000, reacted for 76 hours

Fig. 5는 PVA의 중합도에 따른 X-선 회절 pattern으로 중합도에 따른 basal spacing의 차이는 없었다. 이것은 Brindley¹²가 primary monohydrie alcohol과 같이 짧은 chain length를 갖는 것을 intercalation 시켜 얻은 결과와는 달리 PVA가 high polymer로, 탄소 사슬 길이가 중합도 500의 경우 1.25 μm, 2000인 경우 5 μm 정도이므로 e.s.d가 2 μm 이하인 montmorillonite보다 오히려 더 크거나 거의 같다고 할 수 있다. 이로 인해 PVA가 montmorillonite 중간에서 수직으로 배향되지 못하고 montmorillonite 판상 결정의 $a \cdot b$ 평면에 평행하게 배향되어 흡착한 것으로 설명될 수 있다. 이때 PVA 흡착층의 두께는 PVA 단분자층의 두께와 같은 약 5 Å 정도 (maximum Van der Waals diameter)인데, Fig. 3에서와 같이 약 10 Å 두께를 갖는 montmorillonite 층의 양면에 각각 단층으로 흡착되어 basal spacing이 20 Å 이상으로 나타나며 X-선 회절 pattern에서 2θ = 15° 이상인 범위에서는 어떤 특성 peak도 발견되지 않았다. 따라서 PVA 탄소 사슬과 silicate sheet 간의 Van der Waals 결합이 montmorillonite-PVA 복합체의 결정구조를 안정화시켜주는 중요한 인자라고 생각된다.

Fig. 6은 이렇게 montmorillonite에 흡착된 PVA의

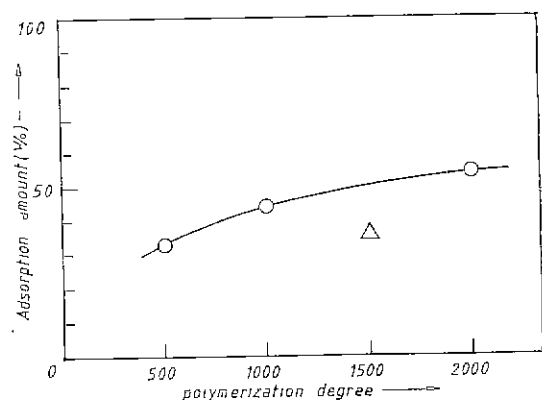


Fig. 6. Amount of adsorbed PVA with polymerization degree, reacted for 76 hours. (○: Hayashi, △: Gunsei)

양을 측정한 것이다. 여기서 흡착량은 단위 무게에 흡착된 PVA의 양을 측정한 것으로, 흡착량을 단위 무게에 흡착된 PVA 양의 백분율로 나타내었다. 이것은 Greenland⁶나 井本三郎⁷이 말한 바와 같이 PVA의 중합도가 케짐에 따라 증가하는 경향을 보여주고 있지만 흡착된 질대량은 전반적으로 낮은 값을 나타냈다. 이는 화학 분석이나 절도 측정으로 구한 앞의 연구^{6,7}와 측정 방법에 있어서의 차이, 혹은 사용한 montmorillonite의 맹윤성 및 Na 이온으로 충간 양이온을 교환한 montmorillonite를 이용한 결과와는 흡착된 질대량으로 비교할 수 있기 때문이라고 생각된다. 특히 산화 환원 방법에 의한 중화적 정법⁸은 PVA 수용액의 농도가 반응 후에 매우 낮아지며, PVA 수용액의 농도와 절도와의 관계를 이용한 방법⁹으로써는 극히 미세한 잡사로 구성되어 있는 montmorillonite를 PVA 수용액으로부터 완전히 분리하기가 힘드므로 두 가지 방법 모두 절대값이라고는 할 수 없을 것이다. 그렇지만 이 실험에서 측정한 PVA의 흡착량은 montmorillonite의 sheet 양면에 PVA가 단분자층으로 흡착하는데 있어서 고자하는 양은 결코 아니다. 본 실험에서 미반응시킨 montmorillonite를 같은 조건으로 강열시킨 뒤 이때의 강열 감량을 기준으로 하여 강열되지 않은 montmorillonite의 무게를 산출한 뒤 흡착된 PVA의 양을 계산하였다.

이때, 순도가 낮은 Gunsei 사 제품으로 사용한 중합도 1500인 PVA는 Hayashi 사 제품에 비해 흡착량의 차이가 있으며 사멘트에 침가했을 때 물성에 미치는 영향도 예상한 값에서 큰 편차를 나타내었다.

N. 결 론

이상과 같은 실험의 결과로 다음과 같은 결론을 얻을 수 있었다.

montmorillonite는 PVA 수용액 중에서 PVA 둘 층간 공간에 흡착한으로써 20 Å 이상의 격자 팽창을 누민 하며 고분자 탄소 사슬 back-bone이 silicate sheet 그면에 평행하게 기의 단분자층의 배향을 함을 알 수 있었다. 층간 결합은 montmorillonite의 hydroxyl group과 PVA의 -OH group 간의 수소교결합과, PVA 탄소사슬과 sheet 간의 Van der Waals 상호 작용에 기인된 것으로 생각되며 배향에 있어서는 후자가 크게 작용한 것으로 설명할 수 있다.

REFERENCE

1. 최진호, “총설 : 층상구조 무기 화합물에 의한 이온성 및 마이온성 유기물의 흡착”, *요업학회지*, 20(3), 260~265(1983).
2. W. Dosch, “Interlamellar Reactions of Tetracalcium Aluminate Hydrates with Water and Organic Compounds”, Proc. 15 th, Nat. Conf. on Clay and Clay Mine., 273~292 (1966)
3. 鈴江重俊, 岡田英三郎, 服部建一, “高性能防水剤のセメントへの吸着挙動”, *セ技作報*, 35, 202~205 (1981)
4. G. C. Bye, “Portland Cement-Composition, Production and Properties”, Pergamon Press, 1st ed., 127~120 (1983)
5. W. W. Emerson, “Complex Formation between Montmorillonite and High Polymers”, *Nature*, 176, 461(1955)
6. D. J. Greenland, “Adsorption of Polyvinyl Alcohols by Montmorillonite”, *J. Coll. Sci.*, 18, 647~664 (1963)
7. 井本三郎, “ポリビニルアルコールと粘土礫物との反応”, *化學と工業*, 16(4), 442~450 (1963)
8. N. Murgan, F. W. Gessen, “Studies in Fractionated Montmorillonite Suspensions”, Proc. 11th Nat. Conf. on Clay and Clay Minerals(Canada), 282 ~294 (1962)
9. R. C. Reynolds, “An X-Ray Study of an Ethylene Glycol Montmorillonite Complex”, *Ame. Miner.*, 50, 990~1001(1965)
10. R. E. Grim, “Clay Mineralogy”, International Series in the Earth and Planetary Science, 2 nd ed., New York, 4~6(1965)
11. 久保輝一郎, 内田清, “層状無機化合物と有機化合物との相互作用”, *工業化學雑誌*, 73, 16~24(1970)
12. G. W. Brindley, S. Ray, “Complex of Ca-Montmorillonite with Primary Monohydric Alcohols (Clay-Organic Studies-VII)”, *Ame. Miner.*, 49, 106~115(1964)